

**СИЛЫ И МОМЕНТЫ, ДЕЙСТВУЮЩИЕ НА ТЕЛА, ВРАЩАЮЩИЕСЯ
ОТНОСИТЕЛЬНО ОСИ СИММЕТРИИ В СВОБОДНОМОЛЕКУЛЯРНОМ ПОТОКЕ**

С. Г. ИВАНОВ, А. М. ЯНШИН

(Днепропетровск)

Аналитически определяются силы и моменты, действующие на симметрично вращающиеся выпуклые тела вращения, движущиеся в свободномолекулярном потоке разреженного газа при следующих допущениях. Функция распределения по скоростям молекул набегающего потока – максвелловская. Схема взаимодействия падающих молекул с поверхностью тела – диффузно-зеркальная. Для тел с произвольной кусочно-гладкой образующей найдены в квадратурах общие выражения составляющих аэродинамических сил и моментов. Для диска, сферы, цилиндрической и конической поверхностей интегрирование сил и моментов, зависящих от вращения тела, проведено до конца. Для моментов сил представлены графики по-грешностей гипертеплового приближения в зависимости от скоростного отношения.

Влияние вращения тела на его аэrodинамические характеристики рассматривалось в работах [1–4]. В [1, 2] получены общие выражения сил и моментов для произвольно вращающихся выпуклых осесимметрических тел соответственно в случаях гипертеплового и шрелловского приближений.

В [3, 4] исследования проведены при произвольных значениях скоростного отношения соответственно для симметрично вращающихся выпуклых тел и для сферы с осью вращения, перпендикулярной набегающему потоку.

Рассмотрим выпуклое тело вращения, закрученное относительно оси симметрии с угловой скоростью ω . Однородный свободномолекулярный поток обтекает тело со среднемассовой скоростью V_∞ под углом α к оси вращения.

Введем следующие системы координат (см. фиг. 1).

Неподвижную xyz с ортами i, j, k , осью z , направленной по оси вращения тела, и осью y , направленной таким образом, чтобы вектор V_∞ лежал в плоскости zy . На поверхности тела в точке с координатами ρ, z, φ построим связанную с центром площадки ds локальную систему координат с ортами n, b, t , заданными следующим образом: n – внутренняя нормаль к поверхности тела, t направлен по вектору $[\omega r]$, $b = [tn]$. Тогда

$$\omega = \omega k, \quad \alpha = \arccos \left(\frac{-V_\infty}{V_\infty} k \right), \quad V_\infty = V_\infty (\sin \alpha j - \cos \alpha k)$$

$$n = -\sin \theta \sin \varphi i + \sin \theta \cos \varphi j - \cos \theta k$$

$$b = -\cos \theta \sin \varphi i + \cos \theta \cos \varphi j + \sin \theta k$$

$$t = \cos \varphi i + \sin \varphi j, \quad \theta = \arccos(-nk)$$

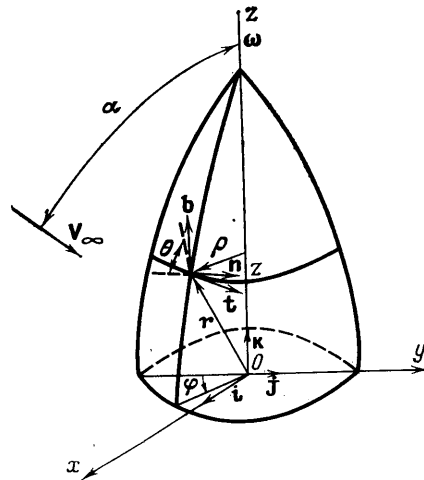
Скорость встречи элементарной площадки ds с набегающим потоком равна $V = V_\infty - [\omega r]$.

Тогда максвелловская функция распределения молекул по скоростям имеет вид

$$f = n_\infty (2\pi R T_\infty)^{-3/2} \exp \left\{ -1/2 R T_\infty [(c_n - Vn)^2 + (c_b - Vb)^2 + (c_t - Vt)^2] \right\}$$

где n_∞ , T_∞ – концентрация и температура падающего потока, c_n , c_b , c_t – проекции молекулярных скоростей на оси локальной системы координат.

Давление P_{ni} и касательные напряжения P_{bi} , P_{ti} , создаваемые падающими мо-



Фиг. 1

лекулами, равны

$$(1) \quad \begin{aligned} P_{ni} &= \int_{-\infty}^{\infty} dc_t \int_{-\infty}^{\infty} dc_b \int_0^{\infty} m f c n^2 dc_n = A \xi(sn) \\ P_{bi} &= \int_{-\infty}^{\infty} dc_t \int_{-\infty}^{\infty} dc_b \int_0^{\infty} m f c_n c_b dc_n = A(st) \chi(sn) \\ P_{ti} &= \int_{-\infty}^{\infty} dc_t \int_{-\infty}^{\infty} dc_b \int_0^{\infty} m f c_n c_t dc_n = A(st) \chi(sn) \end{aligned}$$

$$\begin{aligned} sn &= s_{\infty} n = s_{\infty} (\sin \alpha \sin \theta \cos \varphi + \cos \alpha \cos \theta) = \omega \cos \varphi + c \\ st &= s_{\infty} t - [\Omega r] t = s_{\infty} \sin \alpha \sin \varphi - \Omega \rho \\ sb &= s_{\infty} b = s_{\infty} (\sin \alpha \cos \theta \cos \varphi - \cos \alpha \sin \theta) \\ \chi(x) &= e^{-x^2} + x \sqrt{\pi} [1 + \operatorname{erf}(x)], \quad \xi(x) = \chi(x) x^{+1/2} \sqrt{\pi} [1 + \operatorname{erf}(x)] \\ A &= \frac{\rho_{\infty} V_{\infty}^2}{2 \sqrt{\pi} s_{\infty}^2}, \quad s_{\infty} = \frac{V_{\infty}}{\sqrt{2 R T_{\infty}}}, \quad s = \frac{V}{\sqrt{2 R T_{\infty}}}, \quad \Omega = \frac{\omega}{\sqrt{2 R T_{\infty}}} \end{aligned}$$

Здесь m , ρ — масса и плотность набегающих молекул.

Учитывая вклад отраженных молекул, в рамках зеркально-диффузной схемы имеем

$$P_n = (2 - \sigma_n) P_{ni} + \sigma_n P_w, \quad P_t = \sigma_t P_{ti}$$

$$P_b = \sigma_r P_{bi}, \quad P_w = \frac{A \sqrt{\pi}}{2} \sqrt{\frac{T_w}{T_{\infty}}} \chi(sn)$$

Здесь σ_n , σ_t — коэффициенты аккомодации нормального и касательного импульсов, а индексы i , r , w относятся соответственно к параметрам падающего и отраженного потоков и к параметрам на поверхности тела.

Таким образом, вследствие симметричного вращения тела изменяется только касательное напряжение P_t на величину

$$P_t(\omega) = A \sigma_t \chi(sn) \{-[\Omega r] t\}$$

Выражения для силы и момента, действующих на элементарную площадку ds , имеют вид

$$(2) \quad dF = P ds = (P_n n + P_t t + P_b b) ds, \quad dM = [r dF] = [r P ds]$$

$$r = \rho \sin \varphi i - \rho \cos \varphi j + z k$$

Используя (1), представим (2) в проекциях на неподвижные оси координат и проинтегрируем по всей поверхности тела. Получим

$$(3) \quad \begin{aligned} F_x &= A \int_z \int_{\varphi=0}^{2\pi} [-E \sin \theta \sin \varphi + K(N \cos \varphi - s_{\infty} H \cos \theta \sin \varphi)] ds \\ F_y &= A \int_z \int_{\varphi=0}^{2\pi} [E \sin \theta \cos \varphi + K(N \sin \varphi + s_{\infty} H \cos \theta \cos \varphi)] ds \\ F_z &= A \int_z \int_{\varphi=0}^{2\pi} (-E \cos \theta + K s_{\infty} H \sin \theta) ds \\ M_x &= A \int_z \int_{\varphi=0}^{2\pi} [E \rho_1 \cos \varphi - K(Nz \sin \varphi + s_{\infty} H \rho_2 \cos \varphi)] ds \end{aligned}$$

$$M_y = A \int_z \int_{\varphi=0}^{2\pi} [E\rho_1 \sin \varphi + K(Nz \cos \varphi - s_\infty H \rho_2 \sin \varphi)] ds$$

$$M_z = A \int_z \int_{\varphi=0}^{2\pi} KN \rho ds$$

$$E = \left[(2-\sigma_n) \xi(a \cos \varphi + c) + \sigma_n \frac{\sqrt{\pi}}{2} \sqrt{\frac{T_w}{T_\infty}} \chi(a \cos \varphi + c) \right]$$

$$K = \sigma_r \chi(a \cos \varphi + c), \quad N = s_\infty \sin \alpha \sin \varphi - \Omega \rho$$

$$H = \sin \alpha \cos \theta \cos \varphi - \cos \alpha \sin \theta, \quad ds = \frac{\rho}{\sin \theta} d\varphi dz$$

$$\rho_1 = \rho \cos \theta - z \sin \theta, \quad \rho_2 = \rho \sin \theta + z \cos \theta$$

Используя четность функций $\chi(a \cos \varphi + c)$ и $\xi(a \cos \varphi + c)$, нетрудно доказать следующие соотношения

$$(4) \quad \int_0^{2\pi} \chi(a \cos \varphi + c) \sin \varphi d\varphi = \int_0^{2\pi} \xi(a \cos \varphi + c) \sin \varphi d\varphi = 0$$

$$\int_0^{2\pi} \chi(a \cos \varphi + c) \sin \varphi \cos \varphi d\varphi = 0$$

Определению сил и моментов невращающихся симметричных тел посвящена работа [5]. Поэтому, используя (4), выпишем только составляющие компонент сил и моментов, зависящие от угловой скорости вращения тела. Получим

$$F_x(\omega) = -A \int_z \int_{\varphi=0}^{2\pi} \sigma_r \chi(a \cos \varphi + c) \frac{\Omega \rho^2}{\sin \theta} \cos \varphi d\varphi dz$$

$$F_y(\omega) = F_z(\omega) = M_x(\omega) = 0$$

$$M_y(\omega) = -A \int_z \int_{\varphi=0}^{2\pi} \sigma_r \chi(a \cos \varphi + c) \frac{\Omega \rho^2 z}{\sin \theta} \cos \varphi d\varphi dz$$

$$M_z(\omega) = -A \int_z \int_{\varphi=0}^{2\pi} \sigma_r \chi(a \cos \varphi + c) \frac{\Omega \rho^3}{\sin \theta} d\varphi dz$$

Следовательно, симметричное вращение тела не влияет на лобовое сопротивление, подъемную силу и восстанавливающий момент.

В работе [3] для аналогичных условий показано, что симметричное вращение тела приводит к появлению добавочных сил и моментов $F_y(\omega)$, $F_z(\omega)$ и $M_x(\omega)$, зависящих от вращения тела и пропорциональных $[\omega r]/V_\infty$. Использование же соотношений (4) показывает, что $F_y(\omega)$, $F_z(\omega)$ и $M_x(\omega)$ тождественно равны нулю.

В работе [4] для частного случая $(\omega \perp V_\infty)$ свободномолекулярного обтекания вращающейся сферы показано, что сила $F_x(\omega)$ направлена по $[\omega V_\infty]$. Там же указано, что если бы сфера обтекалась континуальным потоком, то $F_x(\omega)$ была бы направлена в противоположную сторону (эффект Магнуса). В связи с этим докажем знакоподопределенность $F_x(\omega)$ для произвольного выпуклого тела вращения и произвольного α .

Имеем

$$\int_0^{2\pi} \chi(a \cos \varphi + c) \cos \varphi d\varphi = 2 \int_0^\pi \chi(a \cos \varphi + c) \cos \varphi d\varphi =$$

$$= 2 \int_0^{\pi/2} \chi(a \cos \varphi + c) \cos \varphi d\varphi - 2 \int_0^{\pi/2} \chi(-a \cos \varphi + c) \cos \varphi d\varphi$$

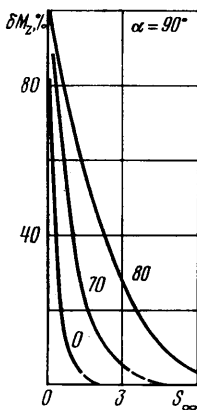
Так как $s_\infty > 0$ и $\alpha, \theta \in [0, \pi]$, то $a = s_\infty \sin \alpha \sin \theta \geq 0$. $\chi(x)$ является положительной монотонно возрастающей функцией x , следовательно

$$B(z) = \int_0^{2\pi} \chi(a \cos \varphi + c) \cos \varphi d\varphi = 2 \int_0^{\pi/2} [\chi(a \cos \varphi + c) - \chi(-a \cos \varphi + c)] \cos \varphi d\varphi \geq 0$$

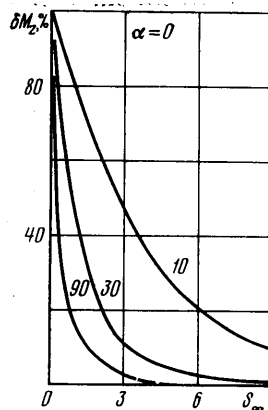
Отсюда для любых z имеем

$$\int_z B(z) \rho^2(z) \frac{dz}{\sin \theta} \geq 0$$

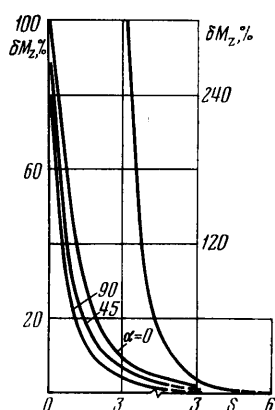
Таким образом, $F_x(\omega)$ действует в направлении $[\omega V_\infty]$, т. е. свободномолекулярный эффект Магнуса противоположен по знаку обычному эффекту в континуальной области.



Фиг. 2



Фиг. 3



Фиг. 4

Ниже выражения (3) проинтегрированы для ряда простейших геометрических тел: диска, сферы, цилиндрической и конической поверхностей. Для диска, цилиндра и сферы моменты сил рассмотрены относительно их геометрического центра, для конуса — относительно середины основания. Для конуса интегралы (3) аналитически берутся только в предельных случаях продольного и поперечного обтекания.

Для диска

$$F_x(\omega) = M_y(\omega) = 0, \quad M_z(\omega) = -\frac{\pi}{2} DR^4 [\chi(s_\infty \cos \alpha) + \chi(-s_\infty \cos \alpha)]$$

$$M_z^\Gamma(\omega) = -\pi^{\frac{3}{2}} DR^4 s_\infty \cos \alpha, \quad M_z^\circ(\omega) = -\pi DR^4$$

Для цилиндра

$$F_x(\omega) = -\pi^{\frac{3}{2}} DLR^2 s_\infty \sin \alpha$$

$$M_z(\omega) = -2\pi DLR^3 \exp(-s_1) [(1+2s_1) I_0(s_1) + 2s_1 I_1(s_1)]$$

$$M_z^\Gamma(\omega) = -4\sqrt{\pi} DLR^3 s_\infty \sin \alpha, \quad M_z^\circ(\omega) = -2\pi DLR^3$$

Для конуса

$$\alpha=0: \quad F_x(\omega) = M_y(\omega) = 0, \quad M_z(\omega) = -\frac{\pi}{2} DLR^3 \frac{\chi(s_\infty \sin \beta)}{\cos \beta}$$

$$M_z^\Gamma(\omega) = -\pi^{\frac{3}{2}} DLR^3 s_\infty \operatorname{tg} \beta, \quad M_z^\circ(\omega) = -\frac{\pi}{2} DLR^3$$

$$\alpha = \pi/2: \quad F_x(\omega) = -\frac{\pi^{3/2}}{3} DLR^2 s_\infty, \quad M_y(\omega) = -\frac{\pi^{3/2}}{12} DL^2 R^2 s_\infty$$

$$M_z(\omega) = -\frac{\pi}{2} DLR^3 \frac{1}{\cos \beta} \exp(-s_2) [(1+2s_2)I_0(s_2) + 2s_2 I_1(s_2)]$$

$$M_z^\Gamma(\omega) = -\sqrt{\pi} DLR^3 s_\infty, \quad M_z^\circ(\omega) = -\frac{\pi}{2} DLR^3$$

Для сферы

$$F_x(\omega) = -4/\sqrt{3} \pi^{3/2} DR^3 s_\infty \sin \alpha, \quad M_y(\omega) = 2\pi DR^4 \cos \alpha \sin \alpha C$$

$$M_z(\omega) = -2\pi DR^4 (B + C \cos^2 \alpha), \quad M_y^\Gamma(\omega) = -\frac{\pi^{3/2}}{2} DR^4 \cos \alpha \sin \alpha s_\infty$$

$$M_y^\circ(\omega) = 0, \quad M_z^\Gamma(\omega) = -\frac{\pi^{3/2}}{2} DR^4 (3 - \cos^2 \alpha) s_\infty, \quad M_z^\circ(\omega) = -\frac{8}{3} \pi DR^4$$

$$B = 1/2 s_\infty^{-3} [1/2 \exp(-s_\infty^2) s_\infty (3s_\infty^2 - 1/2) + 1/2 \sqrt{\pi} (3s_\infty^4 + s_\infty^2 + 1/4) \operatorname{erf} s_\infty]$$

$$C = 1/2 s_\infty^{-3} [1/2 \exp(-s_\infty^2) s_\infty (-s_\infty^2 + 3/2) + 1/2 \sqrt{\pi} (-s_\infty^4 + s_\infty^2 - 3/4) \operatorname{erf} s_\infty]$$

$$D = A \sigma_t \Omega, \quad s_1 = s_\infty^2 \frac{\sin^2 \alpha}{2}, \quad s_2 = s_\infty^2 \frac{\cos^2 \beta}{2}$$

Здесь R – радиус диска, сферы, цилиндра и основания конуса; L – высота цилиндра и конуса; β – угол полураствора конуса; I_0, I_1 – модифицированные функции Бесселя; $M^\Gamma(\omega)$ – гиперплевые значения моментов; $M^\circ(\omega)$ – значения моментов при $s_\infty=0$. При $\alpha=\pi/2$ $F_x(\omega)$ для сферы совпадает с выражением работы [4].

На фиг. 2–4 представлены графики относительной погрешности гиперплевого приближения для моментов сил при чисто диффузной схеме отражения ($\sigma_t=1$): $\delta M(\omega) = [M(\omega) - M^\Gamma(\omega)]/M(\omega) 100\%$ в зависимости от скоростного отношения s_∞ для различных углов атаки.

На фиг. 2 δM_z для диска; на фиг. 3 δM_z для цилиндра; на фиг. 4 δM_z и δM_y для сферы.

Из графиков видно, что для натурных условий, когда $s_\infty \approx 6$, гиперплевое приближение имеет погрешность: для диска – 4% при $\alpha=80^\circ$; для цилиндра $\delta M_z=20\%$ при $\alpha=10^\circ$ и $\delta M_z=3.5\%$ при $\alpha=30^\circ$. Для сферы зависимость δM_z от α слабая, и при $s_\infty=6$ $\delta M_z=2.7\%$ при любых α . δM_y для сферы от α не зависит. При $s_\infty=6$ $\delta M_y=2\%$; при $s_\infty \rightarrow 0$, $\delta M_y \rightarrow \infty$.

В заключение еще раз отметим, что в рамках принятых допущений симметричное вращение тела не влияет на силу сопротивления, подъемную силу и восстановливающий момент, а приводит только к появлению боковой силы, демпфирующего и прецессирующего моментов. При этом боковая сила $F_x(\omega)$ направлена по вектору $[\omega \mathbf{V}_\infty]$, т. е. противоположна по направлению силе Магнуса, которая действовала бы на тело при его вращении в континуальном потоке.

Поступила 27 XI 1978

ЛИТЕРАТУРА

1. Белецкий В. В. Эволюция вращения динамически симметричного спутника. Космич. исследования, 1963, т. 1, № 3.
2. Галкин В. С. Определение моментов и сил, действующих на врачающиеся тела в свободномолекулярном потоке и в потоке света. Инж. ж., 1965, т. 5, № 5.
3. Яскевич Э. П., Филатов Е. И. Дополнительные аэродинамические силы и моменты, действующие на тело вращения, закрученное относительно оси симметрии в свободномолекулярном потоке. В сб.: Гидроаэромех. и теория упругости. Респ. межвуз. науч.-техн. сб., вып. 6. Харьков, Изд-во Харьковск. ун-та, 1967.
4. Wang Ch. T. Free molecular flow over a rotating sphere. AIAA Journal, 1972, vol. 10, No. 5.
5. Баранцев Р. Г., Цзженъ-юй У. Силы и моменты, действующие на тело вращения в свободномолекулярном потоке. Вестн. Ленинградск. ун-та, Сер. матем., мех., астрон., вып. 3, 1961, № 13.